В. В. Кочетов, к. т. н. А. Б. Гольцов, д. т. н. К. И. Логачёв (⊠), д. т. н. О. А. Аверкова, к. т. н. В. М. Киреев

ФГБОУ ВО «Белгородский государственный технологический университет имени В. Г. Шухова», Белгород, Россия

УПК 621.928.9: 62-784.431

ЧИСЛЕННОЕ МОДЕЛИРОВАНИЕ ДИНАМИКИ ПЫЛИ В РОТАЦИОННОМ ПЫЛЕУЛОВИТЕЛЕ С РЕГУЛИРУЕМЫМ РАСХОДОМ ВОЗДУХА

Разработан ротационный пылеуловитель, работающий по принципу центробежного сепаратора. Особенностью его конструкции является наличие байпасного рециркуляционного канала очищенного воздуха с регулятором расхода, двух выходных патрубков с раскручивателями потока в виде спиралевидных каналов. Выполнен расчет движения пылевых частиц плотностью 3000 кг/м³ и диаметром от 1 до 100 мкм. Проведены исследования по повышению эффективности работы аппарата при помощи центрального композиционного плана и установлению рациональных конструктивнорежимных параметров смесителя рециркуляционного и очищаемого воздуха.

Ключевые слова: ротационный пылеуловитель, эффективность очистки, медианный диаметр частиц, регулируемый расход, производительность пылеуловителя, пылевоздушный поток.

ВВЕДЕНИЕ

ля обеспыливания технологических процессов пыльных производств и, соответственно, для снижения вредного воздействия на атмосферу, здоровье людей и работу оборудования необходимы эффективные пылеулавливающие аппараты.

Для установки рациональных конструктивнорежимных параметров смесителя рециркуляционного и очищаемого воздуха представляет интерес исследовать влияние рециркуляционного потока на эффективность пылегазоочистки инерционного аппарата (рис. 1), который относится к пылеулавливающим устройствам [1]. Аппарат работает как центробежный сепаратор и может быть использован для пылеулавливания в разных отраслях промышленности [2], а также при утилизации твердых бытовых отходов. В работах [3, 4] исследован данный аппарат. раскрыты основные теоретические закономерности сепарации твердых частиц, приведены результаты промышленных экспериментов. Однако влияние дополнительного потока и смесителя потоков исследовано не было.

Принцип работы ротационного пылеуловителя (см. рис. 1) заключается в пылеосаждении

 \bowtie

К. И. Логачёв E-mail: kilogachev@mail.ru частиц за счет центробежной силы. Аппарат содержит корпус со спиральными пылеосадительными каналами, ограниченными изогнутыми по цилиндрической поверхности перегородками, которые смещены одна относительно другой с образованием пылеотводящих щелей между смежными краями перегородок; тангенциальный входной патрубок и осевой выходной патрубок на корпусе; пылесборник, присоединенный снизу к боковой поверхности корпуса.

Согласно предлагаемому решению, входной и выходной патрубки объединяются байпасным рециркуляционным каналом очищенного воздуха с регулятором расхода воздуха.

Центробежный пылеуловитель с регулируемым расходом работает следующим образом. Основной поступающий воздух представляет собой запыленный воздушный поток с частицами от 1 до 100 мкм, который по тангенциальному входному патрубку поступает в спиральный канал. За счет движения по криволинейной траектории частицы пыли концентрируются на периферии каждого из каналов и выводятся через зазоры из данного канала в предыдущий по ходу движения потока. Из первого канала по ходу потока под действием центробежной силы пыль вместе с частью воздуха поступает в бункер-пылесборник, где основная масса частиц оседает. Наиболее легкие (мелкие) фракции продолжают летать и возвращаются через соответствующий зазор в зону активной сепарации, где сепарирующий эффект за счет воздействия на них центробежной силы усиливается вследствие уменьшения радиуса закрутки. Очищенный воздушный поток через вен-

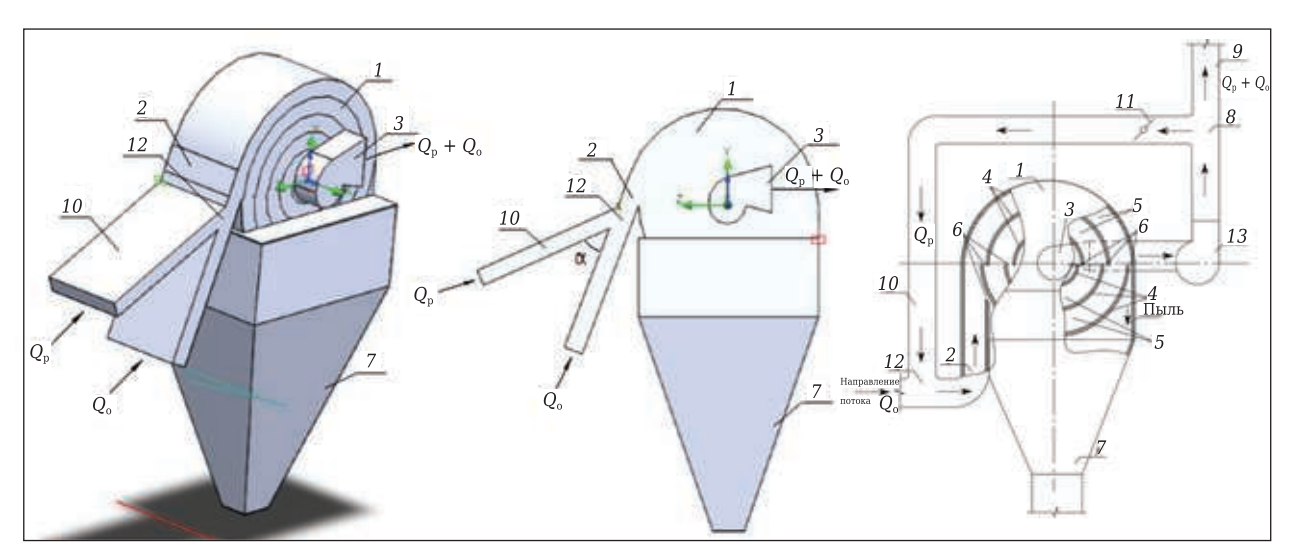


Рис. 1. Расчетная модель исследуемого аппарата очистки пылевоздушного потока с регулируемым расходом воздуха: 1— сепарационная камера; 2— тангенциальный входной патрубок; 3— выходной канал; 4— верхний и нижний полуцилиндры; 5— спиральные сепарационные каналы; 6— зазоры активной сепарации; 7— бункер-пылесборник; 8— разделитель потоков; 9— выходной канал очищенного воздуха; 10— байпасный рециркуляционный канал; 11— регулируемая заслонка; 12— смеситель потоков; 13— выходной вентилятор

тилятор поступает в выходной канал, затем разделяется в разделителе потока: часть очищенного воздуха выбрасывается в атмосферу через выбросной канал, а другая — поступает в рециркуляционный канал. Расход поступающего воздуха регулируется за счет работы регулятора расхода, например заслонки, для поддерживания центробежной силы, действующей на частицы пыли в пылеосадительном канале. Рециркуляционный поток воздуха поступает в смеситель рециркуляционного и очищаемого воздуха.

Отличительной особенностью рассматриваемого пылеуловителя от аналогичного аппарата в патенте [5] является наличие байпасного рециркуляционного канала очищенного воздуха 2 с регулятором расхода 7, разделителя 6 и смесителя потоков 14 (см. рис. 1), двух выходных патрубков с раскручивателями потока. Байпасные рециркуляционные каналы ранее предложено было использовать для повышения эффективности систем аспирации [6, 7] за счет организации принудительной [8, 9] и естественной рециркуляции [10, 11] пылевоздушных потоков.

Цель настоящей статьи — выявление оптимальных значений высоты байпасного рециркуляционного канала очищенного воздуха *B/A* и угла его входа α по отношению к смесителю потоков пылеуловителя. Реализация поставленной цели исследований осуществлялась при решении следующих задач:

– разработке компьютерной модели ротационного пылеуловителя в среде Solid Works Flow Works со смесителем воздуха для исследования способа подачи рециркуляционного потока, влияющего на эффективность пылеочистки $\eta = (1 - N_{\text{BMX}}/N_{\text{RX}}) \cdot 100 \%$;

- разработке байпасного рециркуляционного канала очищенного воздуха для возможности регулирования расхода очищаемого воздуха, а также повышения эффективности работы аппарата η;
- исследовании аппарата при различных конструктивно-режимных параметрах работы;
- выявлении зависимости расхода очищаемого воздуха Q_p/Q_o в рециркуляционном канале для анализа эффективности очистки улавливаемых частиц;
- установке рациональных конструктивнорежимных параметров *Q, B/A*, α работы смесителя рециркуляционного воздуха;
- анализе полученных результатов, определении эффективности работы аппарата η и формулировке направлений дальнейших исследований.

МЕТОДЫ ИССЛЕДОВАНИЯ

Построение расчетной области модели и вычислительный эксперимент проводили в программном комплексе Solid Works Flow Simulation, где для численного решения задачи использовали уравнения неразрывности и Навье – Стокса, замкнутые при помощи k– ϵ -модели турбулентности с интенсивностью 0,1 % и масштабом турбулентности 0,002 м. Уравнения решались на неструктурированных адаптированных к телу прямоугольных сетках. В вычислительном эксперименте проведено моделирование движения пылевых частиц плотностью 3000 кг/м³ и диаметрами от 1 до 100 мкм. Для выполнения вычислительного эксперимента в среде Solid Works была построена простран-

ственная твердотельная модель ротационного аппарата и задана расчетная область моделирования двухфазных течений. В ходе расчетов решали внутреннюю газодинамическую задачу движения газодисперсного потока в полости пылеулавливающего аппарата. Воздействие частиц пыли на воздушный поток не учитывали, так же как и в работах [12–14].

Достоверность и обоснованность полученных результатов подтверждается в ранее опубликованных работах [3–5, 15], в которых были приведены сопоставления с теоретическими, лабораторными и натурными экспериментами. Наблюдалась удовлетворительная качественная и количественная корреляция достоверных и экспериментальных данных. В ходе эксперимента основной целью являлось получение адекватных результатов, коррелирующих с реальными экспериментами, проведенными в работе [15].

В среде Solid Works Flow Works в качестве исходных данных для моделирования были приняты (см. рис. 1): объемный расход воздуха Q на выходе из аппарата 8,33 м³/с ($Q_{\rm p}+Q_{\rm o}=Q$), различные расходы рециркуляционного воздуха $Q_{\rm p}$, основного воздуха $Q_{\rm o}$, температура воздуха на входе в аппарат 443 K, свободный вход с давлением 101325 Па, непроницаемые стенки, угол α от 20 до 90°. Скорость на входе в аппарат при разных режимах работы 1÷27 м/с, на выходе из аппарата 1÷22 м/с.

Факторами исследования вычислительной модели являлись разные значения B/A и α по отношению к смесителю потоков. Критериями оценки эффективности работы приняты соотношение уловленных частиц в аппарате и количества поступающих частиц различных диаметров $N_{\rm BbX}/N_{\rm Bx}$.

В построенной модели пылеуловителя был исследован смеситель потоков 12 (см. рис. 1), в котором происходит смешение основного и рециркуляционного потоков воздуха. Необходимо определить рациональное соотношение рециркулируемого и поступающего в аппарат расходов воздуха $Q_{\rm p}/Q_{\rm o}$ для повышения эффективности работы аппарата η .

РЕЗУЛЬТАТЫ И ИХ ОБСУЖДЕНИЕ

Результаты проведенных экспериментов показаны на рис. 2-4. Общее количество поступающих в аппарат частиц составляет 2000 шт. — по 125 частиц каждой исследуемой фракции (1, 2, 3, 5, 7, 10, 15, 20, 25, 30, 40, 50, 60, 70, 80 и 100 мкм). В эксперименте использован центральный композиционный план, применение которого сократило количество опытов. Полученные результаты эффективности работы η аппаратов очистки воздуха аналогичны результатам работ [16–18]. Основываясь на полученных значениях количества уносимых частиц $N_{\text{вых}}$ были построены карты линий уровня (рис. 2) для предсказанных значений конструктивно-режимных параметров $N_{\text{вых}}/N_{\text{вх}}$, отношения расходов рециркулируемого и поступающего в аппарат воздуха $Q_{\text{p}}/Q_{\text{o}}$ и отношения высоты к ширине канала B/A.

В сравнении полученных данных эффективности очистки аппарата η численного эксперимента было получено уравнение регрессии (коэффициент детерминации $R^2 = 0.75$)

$$N_{\text{RMY}}/N_{\text{RY}} = 0.31 + 0.038 \cdot \ln(O_{\text{p}}/O_{\text{o}}) - 0.38 \cdot B/A.$$
 (1)

Из графика зависимости (см. рис. 3) количества уносимых частиц $N_{\rm выx}/N_{\rm вx}$ от расхода $Q_{\rm p}/Q_{\rm o}$, построенного по формуле (1), следует, что при уменьшении подачи рециркуляционного расхода $Q_{\rm p}/Q_{\rm o}$ возрастает эффективность очистки улавливаемых частиц $\eta=(1-N_{\rm выx}/N_{\rm вx})\cdot 100$ %. Наиболее рациональным и эффективным является соотношение каналов B/A=0.232/1.16=0.2 и угол $\alpha=20^{\circ}$. При увеличении угла более 20° возникает завихрение потока вследствие срыва основного потока и η снижается.

Внедрение рециркуляционного канала в конструкцию ротационного пылеуловителя с возможностью регулирования расхода очищаемого воздуха показало, что отмечается повышение эффективности очищаемого воздуха. При увеличении величины $Q_{\rm p}/Q_{\rm o}>0$,2 зависимость η от $Q_{\rm p}/Q_{\rm o}$ становится практически линейной (см. рис. 3). При правильном выборе расхода очищаемого воздуха рециркуляционного патрубка в совокупности с остальными факторами можно добиться значительного увеличения эффективности работы аппарата с возможностью регулирования расхода поступающего воздуха на очистку.

В работе [15] был проведен вычислительный эксперимент, из которого следует, что эффективность пылеулавливания при отсутствии рециркуляционного потока составляла $\eta = 62 \div 79 \%$ для частиц плотностью 3000 кг/м³. С байпасным рециркуляционным каналом и соотношением

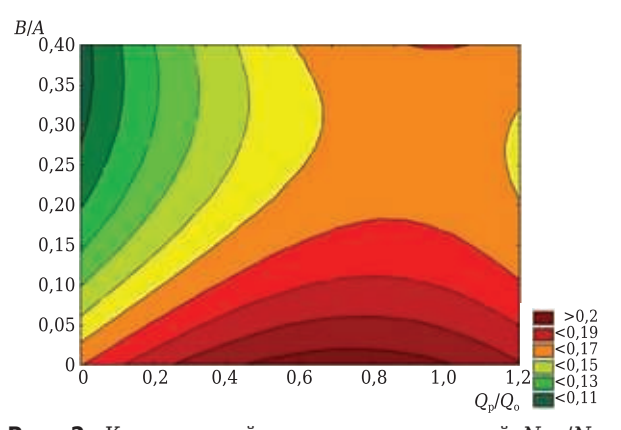


Рис. 2. Карты линий уровня соотношений $N_{\rm BMX}/N_{\rm BX}/Q_{\rm p}/Q_{\rm o}$, B/A

 $Q_{\rm p}/Q_{\rm o}>0.2$ доля очистки исследуемых частиц пыли находится в пределах $\eta=75\div80$ %. При величине $Q_{\rm p}/Q_{\rm o}<0.2$ эффективность очистки достигает $\eta=88$ %.

По актам внедрения, представленным в работе [3], степень очистки аппарата п при оптимальных условиях составляет 60÷90 % в зависимости от физических свойств и дисперсного состава пыли. Выполненный анализ эффективности улавливания частиц с регулируемым расходом воздуха показал, что внедрение рециркуляционного патрубка эффективно сказывается на работе аппарата и позволяет совершенствовать конструктивно режимные параметры аппарата. В работе [15] проводили эксперимент, направленный на выявление степени улавливания частиц пыли при различных диаметрах (см. рис. 4). Линии 1-3 представляют собой работу аппарата без байпасного рециркуляционного канала при разной производительности. После внедрения в конструкцию байпасного рециркуляционного канала и повторения эксперимента (см. рис. 4, линия 4) наблюдается повышение эффективности при малых диаметрах частиц пыли.

В аппарате пылеочистки важным фактором при разработке усовершенствованной конструкции с рециркуляционным патрубком является повышение сопротивления. В компьютерной модели значение сопротивления учитывали при проведении эксперимента [19–21]. Рост сопротивления пропорционален высоте канала В, расчет которого произведен для нахождения рациональных размеров рециркуляционного канала.

С увеличением количества поступающего воздуха на рециркуляцию $Q_{\rm p}$ наблюдается повышение сопротивления байпасного рециркуляционного канала и, следовательно, снижение эффективности байпасного рециркуляционного канала. На сопротивление в аппарате существенное влияние оказывает сечение входных каналов B/A и, как следствие, скорость воздуха в каналах. В большинстве случаев перепад сопротивлений на входе и выходе аппарата составляет до 3000 Па.

При внедрении байпасного рециркуляционного канала происходит слияние потоков чистого воздуха и загрязненного воздуха, поступающего на очистку, изменяется направление потока в сторону стенки каналов аппарата, что создает дополнительное давление к пристеночной области стенок каналов частиц, вследствие которого образуется коагуляция частиц. При коагуляции масса частицы возрастает, что способствует ее перемещению на периферию циркулирующего слоя, выходу из него и движению опять в разбавленном потоке к следующей равновесной орбите с более высокой скоростью [21–24]. С учетом вышесказанного, в дальнейшем необходимо произвести математическое

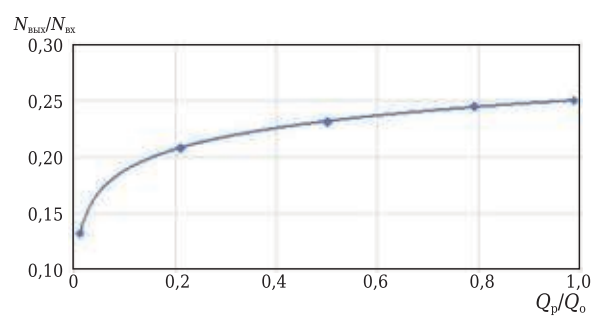


Рис. 3. Зависимость количества уносимых частиц $N_{\rm Bhil}/N_{\rm EX}$ от $Q_{\rm D}/Q_{\rm O}$ при величинах B/A=0.1-0.4

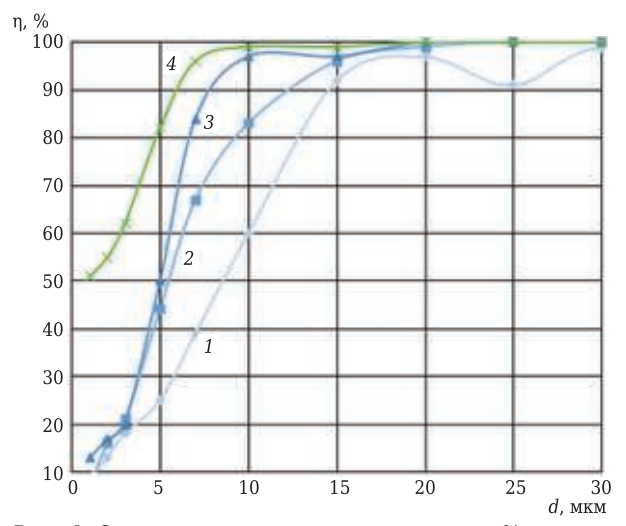


Рис. 4. Степень улавливания частиц пыли η , %, разного диаметра d плотностью 3000 кг/м³ при разной производительности установки: 1-2,77 м³/с; 2-5,55 м³/с; 3-8,33 м³/с; 4-8,33 м³/с ($Q_{\rm o}$) с байпасным рециркуляционным каналом ($Q_{\rm p}/Q_{\rm o}=0,11$ /8,22 = 0,013 м³/с) и $\alpha=20^{\rm o}$

моделирование смесителя с разными углами рециркуляционного канала.

ЗАКЛЮЧЕНИЕ

Разработана компьютерная модель ротационного пылеуловителя в среде Solid Works Flow Works со смесителем воздуха, исследован способ подачи рециркуляционного потока с учетом рациональных параметров, влияющего на эффективность пылеочистки η.

Предложено использование байпасного рециркуляционного канала очищенного воздуха для ранее разработанной модели пылеуловителя, повышающий эффективность очистки аппарата до $\eta = 88 \%$.

Выявлены рациональные конструктивнорежимные параметры для работы смесителя рециркуляционного и очищаемого воздуха: $Q_p =$ = 0,11 м³/c, $Q_o = 8,22$ м³/c, B/A = 0,2, $\alpha = 20^\circ$.

Установлено, что ширину и высоту рециркуляционного канала *B/A* нельзя уменьшать, поскольку создается повышенное сопротивление и эффективность аппарата η уменьшается, рациональные параметры рециркуляционного канала $B/A \ge 0.2$, влияние угла α незначительно, но предпочтительно должно составлять $\alpha = 20 \div 45^{\circ}$.

Определено влияние отношения расходов $Q_{\rm p}/Q_{\rm o}$ в рециркуляционном канале на эффективность очистки улавливаемых частиц (см. рис. 2, 3);

Эффективность работы аппарата при уменьшении величины $Q_{\rm p}/Q_{\rm o}$ менее 0,2 увеличивается. Наибольшая эффективность работы аппарата $Q_{\rm p}/Q_{\rm o}$ достигается в диапазоне от 0,01 до 0,2 и составляет $\eta=88$ %.

Библиографический список

- 1. **Ветошкин, А. Г.** Процессы и аппараты пылеочистки : уч. пособие / А. Г. Ветошкин. Пенза : Изд-во Пенз. гос. ун-та, 2005. 210 с.
- 2. **Платонов, А. М.** Совершенствование аэродинамических условий сепарации пыли в сухих циклонах / А. М. Платонов // Промышленная и санитарная очистка газов. 1984. Notation 5 . C. 2, 3.
- 3. **Буров**, **А. А.** Ресурсосбережение при очистке газовых выбросов в атмосферу ; в сб. научных статей «Современная наука: исследования, идеи, результаты, технологии» / А. А. Буров, А. И. Буров, Н. А. Вишнякова, В. А. Толкач. Киев : НПВК «Триакон», 2010. Вып. 3 (5). С. 11–14.
- 4. **Буров**, **А. А.** Центробежная очистка промышленных выбросов в атмосферу / А. А. Буров, А. И. Буров, А. В. Силин, О. Н. Цабиев // Екологія довкіля та без пекажитте діяльності. 2005. № 6. С. 44–51.
- 5. **Пат. 2016665 Российская Федерация.** Центробежный сепаратор / Буров А. А., Буров А. И., Котляревский П. А., Кошур Н. Х., Мальгота А. А. № 4943501/26; Опубл. 30.07.94.
- 6. **Logachev, I. N.** Methods and means of reducing the power requirements of ventilation systems in the transfer of free-flowing materials / I. N. Logachev, K. I. Logachev, O. A. Averkova // Refract. Ind. Ceram. 2013. Vol. 54, \mathbb{N} 3. P. 258–262.
- **Логачёв, И. Н.** Способы и средства снижения энергоемкости аспирационных систем при перегрузке сыпучих материалов / И. Н. Логачёв, К. И. Логачёв, О. А. Аверкова // Новые огнеупоры. 2013. № 6. С. 66–70.
- 7. **Киреев, В. М.** Рециркуляционные энергоэффективные системы аспирации с использованием эффекта Коанда / В. М. Киреев, В. А. Минко, А. Б. Гольцов // Вестник Белгородского государственного технологического университета им. В. Г. Шухова. 2018. № 12. С. 57-62.
- 8. *Ovsyannikov, Y. G.* Reducing the power consumption of ventilation systems through forced recirculation / *Yu. G. Ovsyannikov, A. B. Gol'tsov, A. S. Seminenko* [et al.] // Refract. Ind. Ceram. 2017. Vol. 57, № 5. P. 557–561.

Овсянников, Ю. Г. Снижение энергоемкости аспирационных систем за счет принудительной рециркуляции / Ю. Г. Овсянников, А. Б. Гольцов, А. С. Семиненко [и др.] // Новые огнеупоры. — 2016. — № 10. — С. 64–68.

9. **Kireev**, **V. M.** The use of coanda effect in energy-efficient recirculating aspiration systems / V. M. Kireev,

При $Q_{\rm p}/Q_{\rm o}$ больше $0,2\,\eta=75\div80\,\%$. При возможности регулирования расхода очищаемого воздуха заслонкой в байпасном рециркуляционном канале эффективность составила $\eta=62\div79\,\%$.

Полученные результаты на основании вычислительных экспериментов коррелируют с результатами, полученными в работах [3, 6], коэффициент корреляции составляет 0,88–0,95.

* * *

Исследование выполнено при поддержке гранта Российского научного фонда (проект № 18-79-10025).

- A. B. Goltsov, A. S. Seminenko // IOP Conference Series: Materials Science and Engineering. 2018. Vol. 463. Article 032020.
- 10. **Logachev, K. I.** Simulation of air flows in ventilation shelters with recirculation / K. I. Logachev, I. V. Kryukov, O. A. Averkova // Refract. Ind. Ceram. 2015. Vol. 56, N_2 4. P. 428–434.
- **Логачёв, К. И.** Моделирование воздушных потоков в аспирационном укрытии с рециркуляцией / К. И. Логачёв, И. В. Крюков, О. А. Аверкова // Новые огнеупоры. 2015. № 8. С. 57–62.
- 11. **Averkova, O. A.** Analytical and experimental study of the air recirculation in a loading porous tube with a combined bypass chamber / O. A. Averkova, I. V. Kryukov, I. N. Logachev, K. I. Logachev // Journal of Engineering Physics and Thermophysics. 2017. Vol. 90, $N \ge 2$. P. 318–328.
- 12. **Logachev, K. I.** Simulations of dust dynamics around a cone hood in updraft conditions / K. I. Logachev, A. M. Ziganshin, O. A. Averkova // J. Occup. Environ. Hyg. 2018. Vol. 15. P. 715–731.
- 13. **Logachev**, **K. I.** Modeling of air and dust flows in the range of action of a round suction funnel above an impermeable plane. Part 1. A mathematical model and algorithm for its computer implementation / K. I. Logachev, O. A. Averkova, E. I. Tolmacheva [et al.] // Refract. Ind. Ceram. 2016. Vol. 56. P. 679–683.
- Логачев, К. И. Моделирование пылевоздушных течений в спектре действия круглого отсоса-раструба над непроницаемой плоскостью. Часть 1. Математическая модель и алгоритм ее компьютерной реализации / К. И. Логачев, О. А. Аверкова, Е. И. Толмачева, А. К. Логачев, В. Г. Дмитриенко // Новые огнеупоры. 2015. № 12. С. 56-60.
- 14. **Logachev, K. I.** Modeling of air and dust flows in the range of action of a round suction funnel above an impermeable plane. Part 2. Characteristics of separation region and efficiency of capture of dust particles / K. I. Logachev, O. A. Averkova, E. I. Tolmacheva [et al.] // Refract. Ind. Ceram. 2016. Vol. 57. P. 103–107.
- Логачев К. И. Моделирование пылевоздушных течений в спектре действия круглого отсоса-раструба над непроницаемой плоскостью. Часть 2. Характеристики отрывной области и эффективность улавливания пылевых частиц / К. И. Логачев, О. А. Аверкова, Е. И. Толмачева [и др.] // Новые огнеупоры. 2016. № 2. С. 62-66.
- 15. **Кочетов, В. В.** Анализ работы и способы совершенствования ротационного пылеуловителя / В. В.

Кочетов, А. Б. Гольцов, Т. И. Ильина // Экология промышленного производства. — 2019. — № 3. — С. 42–46.

- 16. **Ахмедзянов**, **Д. А.** К вопросу об адекватности трехмерного газодинамического моделирования ГТД в современных программных комплексах / **Д. А. Ахмедзянов**, **А. Е. Кишалов** // Вестник Уфимского государственного авиационного технического университета. 2008. N 1. C. 11–20.
- 17. **Song**, **J.** Experimental and CFD study of particle deposition on the outer surface of vortex finder of a cyclone separator / *J. Song*, *Y. Wei*, *G. Sun*, *J. Chen* // Chemical Engineering Journal. 2017. Vol. 309. P. 249–262.
- 18. *Azarov, V. N.* Experimental study of secondary swirling flow influence on flows structure at separation chamber inlet of dust collector with counter swirling flows / V. N. Azarov, D. V. Lukanin, D. P. Borovkov, A. M. Redhwan // International Review of Mechanical Engineering. 2014. Vol. 5. P. 851–856.
- 19. **Talbi, K.** An experimental study and a numerical simulation of the turbulent flow under the vortex finder of a cyclone separator / K. Talbi, Z. Nemouchi, A. Donnot, N. Belghar // Journal of Applied Fluid Mechanics. 2011. Vol. 4, N 1. P. 69–75.
- 20. *Gol'tsov, A. B.* Modeling dust and air flow within an aspirated shelter / A. B. Gol'tsov, K. I. Logachev, O. A.

Averkova // Refract. Ind. Ceram. — 2016. — Vol. 57, № 3. — P. 325–331.

- **Гольцов, А. Б.** Моделирование пылевоздушных течений в аспирируемом укрытии / А. Б. Гольцов, К. И. Логачёв, О. А. Аверкова // Новые огнеупоры. 2016. № 6. С. 61—66.
- 21. **Azarov, V. N.** Application of swirling flows in aspiration systems / V. N. Azarov, D. P. Borovkov, A. M. Redhwan // International Review of Mechanical Engineering. 2014. Vol. 4. P. 750–753.
- 22. **Zhukova**, **N. S.** Analysis of structural elements CDW apparatus in engineering and environmental systems / N. S. Zhukova, T. O. Kondratenko, V. A. Shibakov // International Scientific Journal Alternative Energy and Ecology. 2013. Vol. 12. P. 62–66.
- 23. **Oh**, **J**. Numerical simulation of an internal flow field in a uniflow cyclone separator / J. Oh, S. Choi, J. Kim // Powder Technology. 2015. Vol. 274. P. 135–145.
- 24. **Bhasker**, C. Flow simulation in industrial cyclone separator / C. Bhasker // Advances in Engineering software. 2010. Vol. 41. P. 220–228. ■

Получено 29.04.21 © В. В. Кочетов, А. Б. Гольцов, К. И. Логачёв, О. А. Аверкова, В. М. Киреев, 2021 г.

НАУЧНО-ТЕХНИЧЕСКАЯ ИНФОРМАЦИЯ



Профили выставки Metalforum:

- добыча и переработка руд черных и цветных металлов;
- сырье металлургического производства руды и концентраты, лом, отходы и шлаки;
- машины и оборудование для металлургии плавильные, отжиговые печи, литейные ковши и др.;
- прессы и экструдеры, молоты и печи для термообработки;
- оборудование для производства труб и проволоки, листа и фольги;
- материалы и добавки огнеупоры, смеси, стержни, опоки;
- машины и оборудование для очистки и снятия напряжений в отливках;
- машины и оборудование для порошковой металлургии, конвейеры, питатели и др.;
- металлы (чугун, сталь, цветные металлы), сплавы черных и цветных металлов и изделия из них;
- чугунные и стальные трубы;
- проволока, пружины, кабели, цепи;
- продукция порошковой металлургии;
- металлоконструкции для промышленности и строительства;
- ножи, ножницы, пилы, отвертки, сверла и другой ручной и производственный инструмент;
- утилизация лома и отходов металлургического производства;
- научно-исследовательские разработки, услуги, программное обеспечение и др.

№ 6 2021 **Hobbie Ofheytopbi** ISSN 1683-4518 **75**